贺春江,蒙萌,黄肖寒,等.桂西北一次区域性冰雹天气过程分析[J].陕西气象,2014(3):4-7.

文章编号: 1006-4354 (2014) 03-0004-04

# 桂西北一次区域性冰雹天气过程分析

贺春江,蒙 萌,黄肖寒,王秋文 (河池市气象局,广西河池 547000)

摘 要:利用高空、地面资料,自动气象站资料和河池多普勒雷达资料,对 2013 年 3 月 23 日桂西北河池市区域性冰雹天气过程进行分析。结果表明:500 hPa 高原冷槽、850 hPa 切变线、地面弱冷锋是这次过程的影响系统;边界层辐合线为触发对流云提供了动力条件;冷云厚度是暖云厚度的 2 倍有利于冰雹天气的产生;适宜降雹的云顶亮温在一52 飞到一62 飞;当 VIL 值 $\geqslant$ 60 kg/m²时,强回波附近将有冰雹出现;反射率因子图上的弓形回波,钩状回波,弱回波区,旁瓣回波、三体散射,是发布冰雹预警的重要指标。

关键词:区域性冰雹;边界层辐合线;冷暖云厚度比;云顶亮温; VIL 值;河池市

中图分类号: P458.1

文献标识码: A

## 1 天气实况

2013年3月23日下午到夜间,桂西北河池市出现大范围强对流天气。天峨、南丹、金城江、环江、罗城、宜州、都安等七县市的31乡镇出现冰雹,其中宜州市北山乡出现直径60 mm的大冰雹,天峨、宜州、环江县还出现8级以上

大风,河池市的金城江区、宜州市和都安县出现 短时强降水。

## 2 强对流天气成因

2.1 环流背景分析

2013年3月23日08时强对流天气系统配置图(图1,图见第7页)显示,500 hPa 高空

收稿日期: 2014-03-05

作者简介: 贺春江(1971—), 女,广西河池人,学士,工程师,从事气象服务和短期预报工作。

沙地、与云互相作用区识别优势明显,实现日夜不间断连续监测,对研究沙尘发生、发展、演变具有现实意义。

#### 参考文献:

- [1] 石广玉,赵思雄.沙尘暴研究中的若干科学问题 [J].大气科学,2003,27(4):591-606.
- [2] 张鹏,张兴赢,胡秀清,等.2006年一次沙尘活动的卫星定量遥感和分析研究[J].气候与环境研究,2007,12(3):302-308.
- [3] Shenk W E, Curran R J. The detection of dust storms over land and water with satellite visible and visible and infrared measurements [J]. Mon Wea Rev, 1974, 102 (12): 830-837.

- [4] Ackerman S A. Using the radiative temperature difference at 3.7 and 11 to track dust outbreaks [J]. Remote Sens Environ, 1989, 27 (2): 129

  -133.
- [5] 郭铌, 蔡迪花, 韩兰英, 等. MODIS 沙尘暴判识方法与业务系统[J]. 气象, 2009, 35 (1): 102-108.
- [6] Zhang P, Lu N M, Hu X Q, et al. Identification and physical retrieval of dust storm using three MODIS thermal IR channels [J]. Global and Planetary Chance, 2006, 52 (4): 197-206.
- [7] Ackerman S A, Smith W L, Spinhirne J D, et al. The 27—28 October 1986 FIRE IFO cirrus case study: Spectral properties of cirrus clouds in the 8—12μm window [J]. Mon Wea Rev, 1990, 118 (11): 2377-2388.

槽位于青藏高原东侧,槽后有冷平流,桂西北受槽前西南气流控制,温度露点差≥25℃,为于空气区。低空850hPa为西南暖湿气流影响,急流轴位于广西东南部,贵州南部和广西北部存在一西南风和东北风的冷式切变线,切变线南侧温度露点差≤2℃,为高湿区,水汽充沛,温度脊位于湿区西侧,桂西北地区低层高能高湿的条件已具备。地面弱冷锋位于南岭附近,冷锋前部区域为东南气流影响。23日下午到夜间随着高空冷槽的东移,配合850hPa切变线和地面弱冷空气的触发,强对流天气发生在切变线两侧,急流轴左侧,地面东北气流和东南气流汇合处。

#### 2.2 地面要素的中尺度特征分析

许多研究支持强风暴发生前已有低空幅合的存在,地面幅合线是强风暴的触发机制之一「□」。从河池地面气象自动观测网资料可看出,2013年3月23日16—19时在天峨、南丹、环江、罗城县境内有一条东西向的中尺度风场辐合线,辐合线两侧有3~5℃的温度梯度(图2a、2b)。从西部移出的对流云系沿辐合线东移并逐渐加强,造成幅合线两侧4县的14乡镇出现冰雹天气。22—24时,又有一条长约100km的西北一东南向中尺度风场辐合线在河池市金城江区至宜州市境内,雹暴沿辐合线从西北向东南移动(图2c),最强的冰雹出现在幅合线上。边界层辐合线是风暴发生发展的动力条件之一,是强对流天气重要的触发系统。

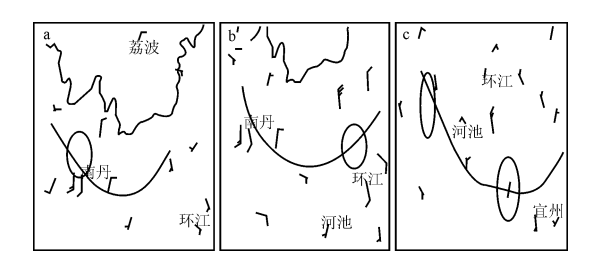


图 2 2013-03-23 地面幅合线 (a 17:00; b 18:00; c 23:00。黑线为地面幅合线, 圆圈为雹暴位置)

# 2.3 T-logp 图分析

冰雹等强对流天气产生于较强的对流风暴 中,它取决于环境的热力不稳定,环境垂直风切

变和水汽的垂直分布等因子[2]。从冰雹发生当日 08 和 20 时的河池探空资料看(图 3,图见第 7 页), 地面 (925 hPa) 到 500 hPa, 风速随高度 增加明显,风向顺转,有较强的垂直风切变;而 衡量热力不稳定大小的最佳参量是对流有效位能 Cape<sup>[3]</sup>。冰雹天气发生前, 23 日 08 时 Cape 值 为 1 288. 3 J·kg<sup>-1</sup>, 20 时 Cape 上升至 1 746. 2 J•kg<sup>-1</sup>,沙氏指数维持在 $-3.09\sim-4.08$  ℃, 风暴强度指数为 295.4~310.4 ℃, 具备了发生 冰雹 天气的潜势。08 时  $\Delta T_{850-500}$  为 26  $\mathbb{C}$ ,  $\Delta T_{700-500}$  为 19 °C; 20 时  $\Delta T_{850-500}$  增大到 31 °C,  $\Delta T_{700-500}$ 维持不变,这表明从低层到高层垂直温 度递减率大,增大了层结的不稳定性。从水汽的 垂直分布来看,冰雹天气过程中水汽条件均呈上 干下湿的分布, 高层 500 hPa 比湿值在 0.25~ 0.70 g/kg, 700 hPa 在 3.5~3.9 g/kg, 而低层 水汽较丰富, 地面到 850 hPa 的比湿值在 12.0 ~15.0 g/kg。环境条件非常有利于对流风暴的 产生。

## 3 冰雹生长条件分析

### 3.1 0 ℃层和-20 ℃层高度

冰雹的主要生成区是在 0 ℃到 - 20 ℃层区域。据统计,河池市春季降雹日 08 时 0 ℃层高度在 4 100~4 900 gpm; - 20 ℃层高度在 7 000~8 000 gpm<sup>[4]</sup>。23 日 08 时 0 ℃层和 - 20 ℃层的高度分别为 4 234 gpm、7 022 gpm,满足出现冰雹的条件。

#### 3.2 冷云与暖云厚度比

当对流云中冷云部分是暖云部分的 2~3 倍时,利于冰雹天气的出现<sup>[5]</sup>。当冷云和暖云部分的厚度比达到上述比例时,既保证云中有较厚的过冷水滴区,又保证云中有不太厚的液态水含量较高的暖区,不会导致雹块在下降过程中完全融化。此次冰雹天气出现前,冷云与暖云部分的厚度比逐渐增加。22 日 08 时,暖云层厚度(抬升凝结高度到 0 ℃层高度)为 3 330 gpm,冷云层厚度(0 ℃层高度到平衡高度)为 5 753 gpm,两者比为 1: 1.73,23 日 08 时,暖云厚度为 3 284 gpm,而冷云厚度增加为 6 641 gpm,其比变为 1: 2.02,有利于冰雹产生。

# 4 中尺度对流系统演变和雷达回波特征

#### 4.1 中尺度对流云系的演变

在具备了强对流天气发生的环流背景条件 下,23日13时(图略),在广西西林县境内开 始有对流云块生成,云顶亮温(TBB)为-30  $\mathbb{C}$ , 它是第一个中尺度对流云系的初生阶段; 15:00 (图略) 云团不断加强在乐业县北发展成 第一个中尺度对流云系 MCS1, 其 TBB 为-52 ℃,具有密实的结构,MCS1逐渐发展加强,在 高空槽前偏西南气流引导下由西向东移动,16: 00 进入天峨县境内; 16:00-19:00 (图略) 云系加强并以东移为主, TBB 维持在-58~-62 ℃, 受该云系影响 4 县市降雹; 20: 00 云系 减弱移出河池市境内。21:00,在南丹县西南部 附近又有新的对流云块出现,22:30 (图略)第 二个中尺度对流云系 MCS2 在河池市金城江区 境内生成, TBB 为-58 ℃, 缓慢东南移并逐渐 加强, 22:40 前后金城江区开始降雹,该云系 从 23 日 22:40 开始到 24 日凌晨造成 5 县市的 1 个乡镇出现强冰雹天气。

#### 4.2 雷达回波特征

23 日 15:00 河池多普勒雷达图 (图略), 广西乐业县北面有分散回波, 1.5°仰角基本反射 率因子中心强度 25 dbz。15: 22 天峨县境内有 新的回波生成,中心强度 45 dbz。15:46 两处 回波合并加强东移,16:00 回波中心强度达60 dbz, 回波顶高 14 km, VIL 液态水含量由 25  $kg/m^2$  跃升到 60  $kg/m^2$ , 随后维持在 60~70 kg/m<sup>2</sup>。16:20 天峨县坡结乡开始降雹,三堡 乡、向阳镇也出现降雹,最大冰雹直径 10 mm。 研究表明, VIL 先猛增,后相对稳定,当达到 峰值时即出现冰雹[6],本次降雹过程也出现了同 样的情况。17:16是这次风暴的最强时段, 0.5°~3.4°仰角上的反射率因子中心强度 65 dbz, 并出现了钩状回波和穹窿(图 4, 图见第 7 页),南丹县有四乡镇降雹,冰雹最大直径20 mm; 18: 00-19: 00 回波以东移为主,强回波 扫过地区都出现了冰雹。19:30左右回波减弱, VIL 液态水含量降至 30 kg/m²,降雹停止。

23 日 21:00 至 24 日 00:00 仰角为 1.5°的

河池多普勒雷达基本反射率演变(图5,图见第 7页)。21:00河池西北部开始出现分散的回波, 最强回波 30 dbz。随后,对流单体不断合并加强 形成多单体对流风暴由西北向东南方向移动, 22: 14-22: 32 形成-条长约 100 km, 中心强 度 55 dbz 的强回波带。VIL 值由 10 kg/m² 跃增 到  $40 \text{ kg/m}^2$ , 并在风暴入流处出现弱回波区, 表明多单体强风暴已形成并继续发展。22:44 VIL 值达 65 kg/m²,河池市金城江区有四乡镇 降雹。22: 50-23: 02 出现旁瓣回波,旁瓣回 波的出现可作为强冰雹预警的辅助指标[7]。23: 20 宜州市北山乡出现直径 60 mm 的大冰雹,并 伴有8级大风和短时强降水。23:13-23:31 出现三体散射。23:31-00:01,1.5°仰角反射 率因子强度 65 dbz, VIL 值达 70 kg/m<sup>2</sup>, 风暴 发展到最强盛阶段,强回波扫过区域都出现大冰 雹天气。00:31 后 VIL 值突降至 35 kg/m²,降 雹停止。在风暴演变过程中,弱回波区、旁瓣回 波超前大冰雹发生近 20 min, 对大冰雹的预警 有较强的指示意义。

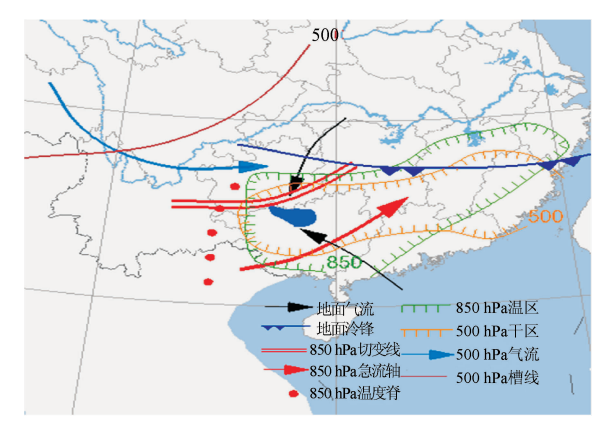
#### 5 结论

- (1) 高原冷槽、低层切变线和地面弱冷锋是这次天气过程的影响系统,上干冷下暖湿、不稳定度的增大为冰雹的产生提供了充足的不稳定能量。
- (2) 边界层辐合线是强对流天气重要的触发系统。
- (3) 冷云部分的厚度是暖云的 2 倍左右时有 利于冰雹天气的产生。
- (4) 适宜降雹的云顶亮温在-52~-62 ℃ 之间。
- (5) 当 VIL 值≥60 kg/m² 时,强回波附近 将有冰雹出现。
- (6) 弓形回波,钩状回波,弱回波区,旁瓣回波、三体散射是发布冰雹预警的重要指标。弱回波区、旁瓣回波超前大冰雹发生近 20 min,对大冰雹的预警有较强的指示意义。

## 参考文献:

[1] 葛润生,姜海燕.北京地区雹暴气流结构的研究 [J].应用气象学报,1998,9(1):1-7.

[2] 孟妙志,韩洁,王仲文,等.陕西 2011 年 7 月连 续强对流天气成因及特征分析 [J].陕西气象, 2013 (4): 1-6.



蓝色区域为冰雹区域

图 1 2013-03-23T08 时广西强对流天气系统配置 (文见第 4 页 2.1)

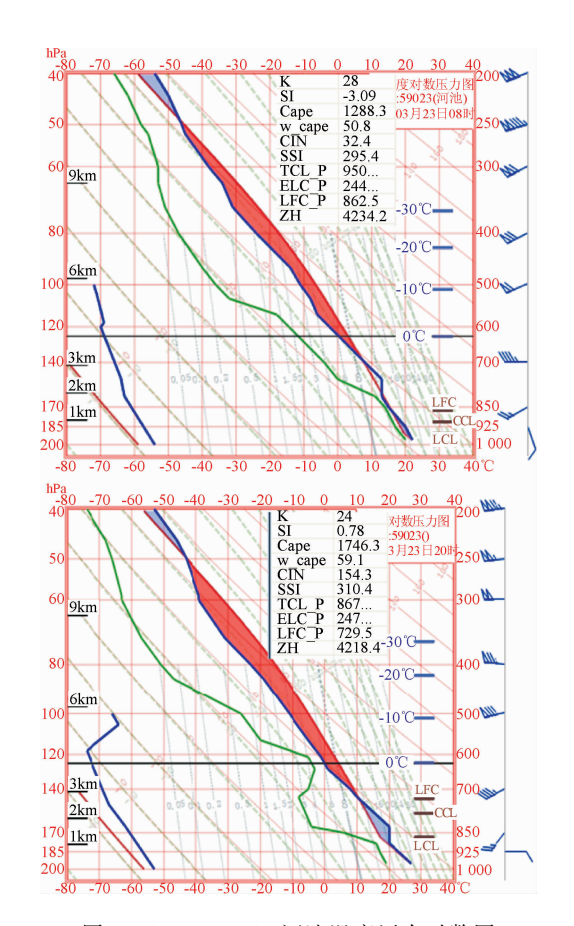


图 3 2013-03-23 河池温度压力对数图 (a 08 时; b 20 时。文见第 5 页 2.3)

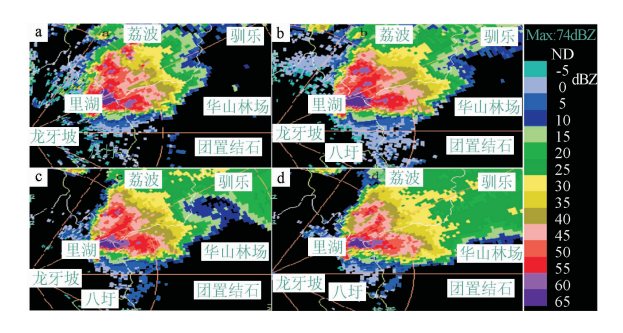


图 4 2013-3-23T17; 16 (北京时) 河池雷达不同仰角 (a 0.5°; b 1.5°; c 2.4°; d 3.4) 基本反射率因子 (文见第 6 页 4.2)

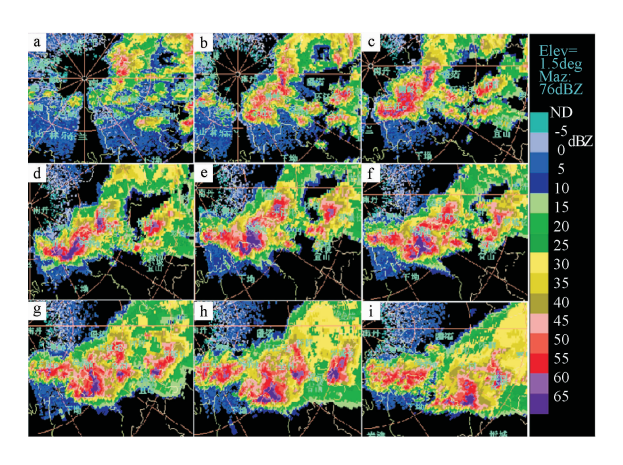


图 5 2013-03-23T22: 00—24: 00 不同时刻 1.5°仰角 反射率因子 (a 22: 14; b 22: 32; c 22: 44; d 23: 02; e 23: 13; f 23: 19; g 23: 31; h 23: 43; i 00: 01。文见第 6 页 4.2)

- [3] 俞小鼎,姚秀萍,熊延南,等.多普勒天气雷达原理与业务应用[M].北京:气象出版社,2005:80-100.
- [4] 贺春江,党国花.桂西北冰雹分布特征及春季降雹环境场分析[J].气象研究与应用,2012(33):66-67.
- [5] 雷雨顺,吴宝俊,吴正华.冰雹概论 [M].北京:科学出版社,1978:40-50.
- [6] 王旭仙,武麦凤,谢在发,等.一次冰雹过程的卫星云图和雷达回波特征分析[J].陕西气象,2010(2):18-22.
- [7] 廖玉芳, 俞小鼎, 吴林, 等. 旁瓣回波的特征分析 [J]. 热带气象学报, 2008, 24 (2): 183-188.